#### (2) 地震活動

### ア. 鳥島近海の地震活動

鳥島近海(領域 a)では、2023年10月2日から9日にかけて地震活動が活発になり、3日20時38分にはM6.4の地震(最大震度1)、5日10時59分にはM6.5の地震(震度1以上を観測した地点はなし)が発生するなど、M6.0以上の地震が4回発生した。このうち、最大規模の地震は、5日10時59分に深さ10km (CMT解による)で発生したM6.5の地震(震度1以上を観測した地点はなし)で、発震機構(CMT解)は東北東一西南西方向に張力軸を持つ正断層型である。この地震はフィリピン海プレート内で発生した。また、これらの地震の震源付近では、9日04時頃から06時台にかけて、規模が小さいうえに地震波のP相及びS相が不明瞭なため震源が決まらないものも含めて地震が多発した。

1997年10月以降の活動をみると、今回の地震の震央付近(領域 a )では、M5.0以上の地震が時々発生している。2006年10月24日にはM6.8の地震(最大震度 2)が発生し、三宅島坪田で16cmなどの津波を観測した。

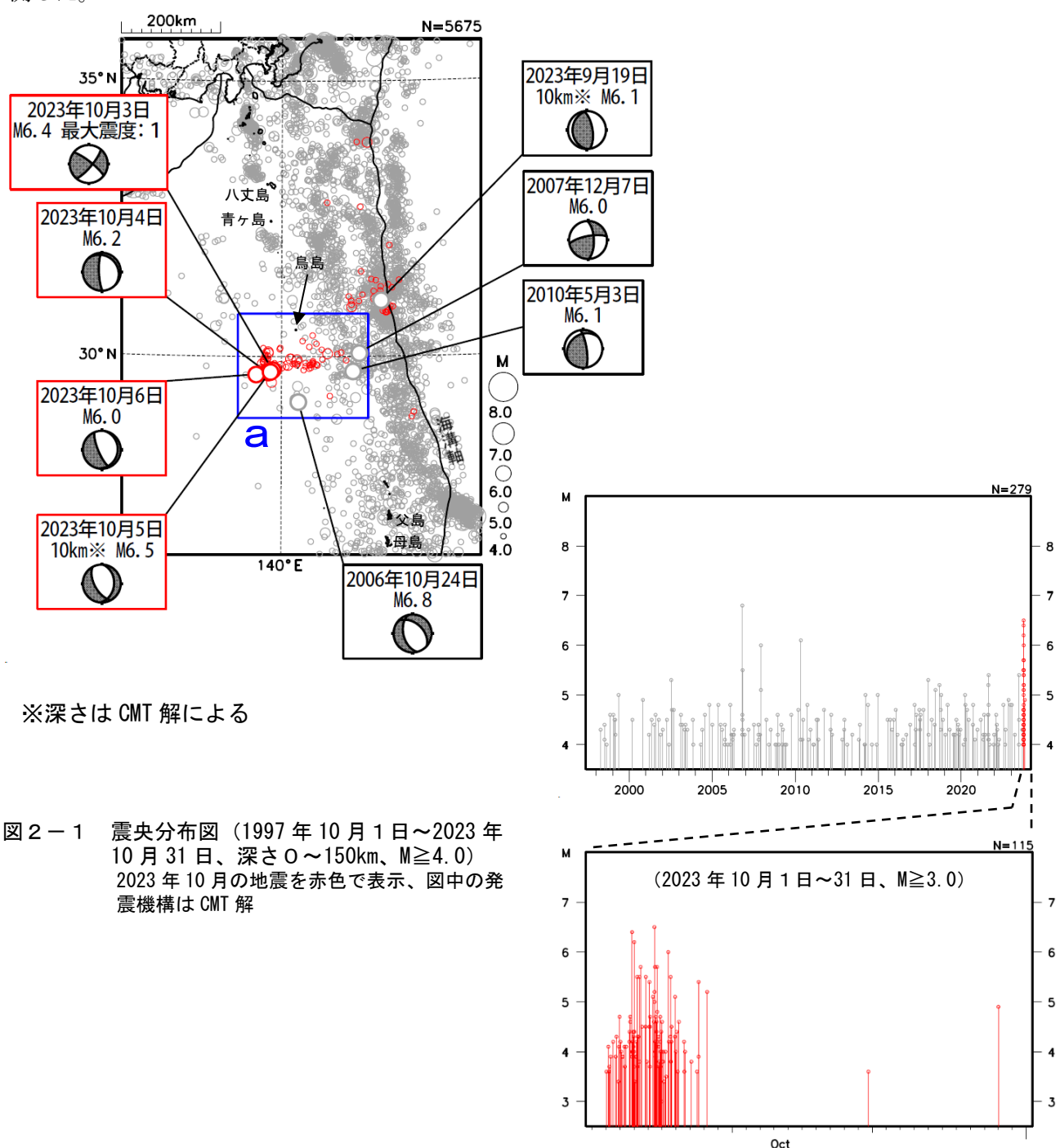


図2-2

図2-1の領域 a 内のM-T図

### 令和5年10月 地震・火山月報(防災編)

### イ. 地震波形

気象庁の八丈島三根観測点 (HACHJ3) 及び国立研究開発法人防災科学技術研究所の小笠原観測点 (OSW)で観測された広帯域地震計の上下動成分の記録について、10月3日20時38分の地震(M6.4)、10月5日10時59分の地震(M6.5)、10月6日10時31分の地震(M6.0)及び10月9日05時25分の地震の波形を比較したものを図2-3から図2-5に示す。また、八丈島三根観測点及び小笠原観測点における10月9日05時25分の地震の広帯域地震計の上下動成分の記録を図2-6に示す。10月9日05時25分の地震は他の地震に比べて振幅が小さいが、振幅を拡大すると地震波が記録されていることが分かるが、地震波のP相及びS相は不明瞭である。

気象庁震度計の父島観測点での 10 月 9 日 04 時から 07 時までの上下動成分の記録を図 2 - 7 に示す。同時間帯において、振幅の大きな波形 (T相と考えられる) が少なくとも 14 個みられる。

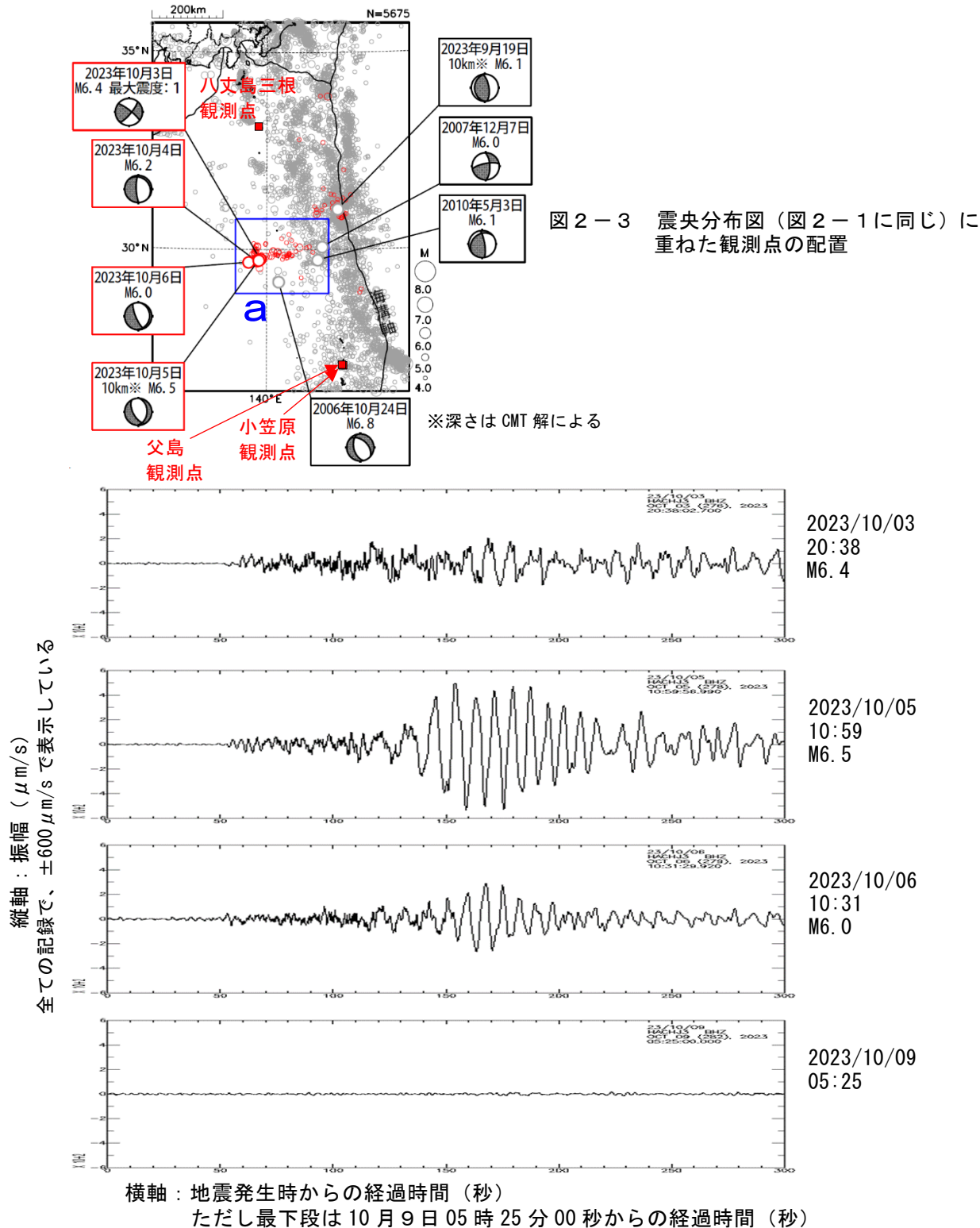
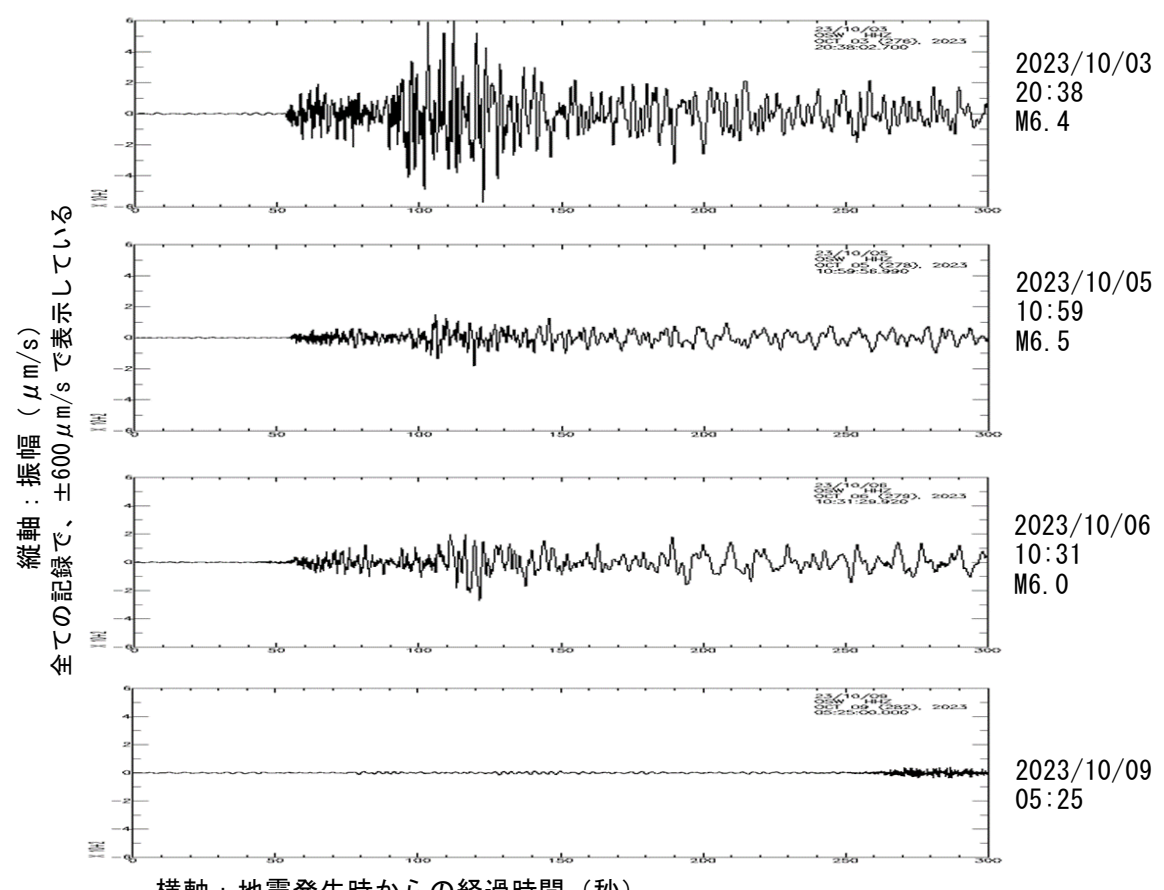


図2-4 気象庁・八丈島三根観測点(HACHJ3)における広帯域地震計の上下動成分の記録



横軸:地震発生時からの経過時間(秒) ただし最下段は10月9日05時25分00秒からの経過時間(秒)

図 2 - 5 防災科学技術研究所・小笠原観測点 (OSW) における広帯域地震計の上下動成分の記録 国立研究開発法人防災科学技術研究所のF-net観測点の波形データを用いた

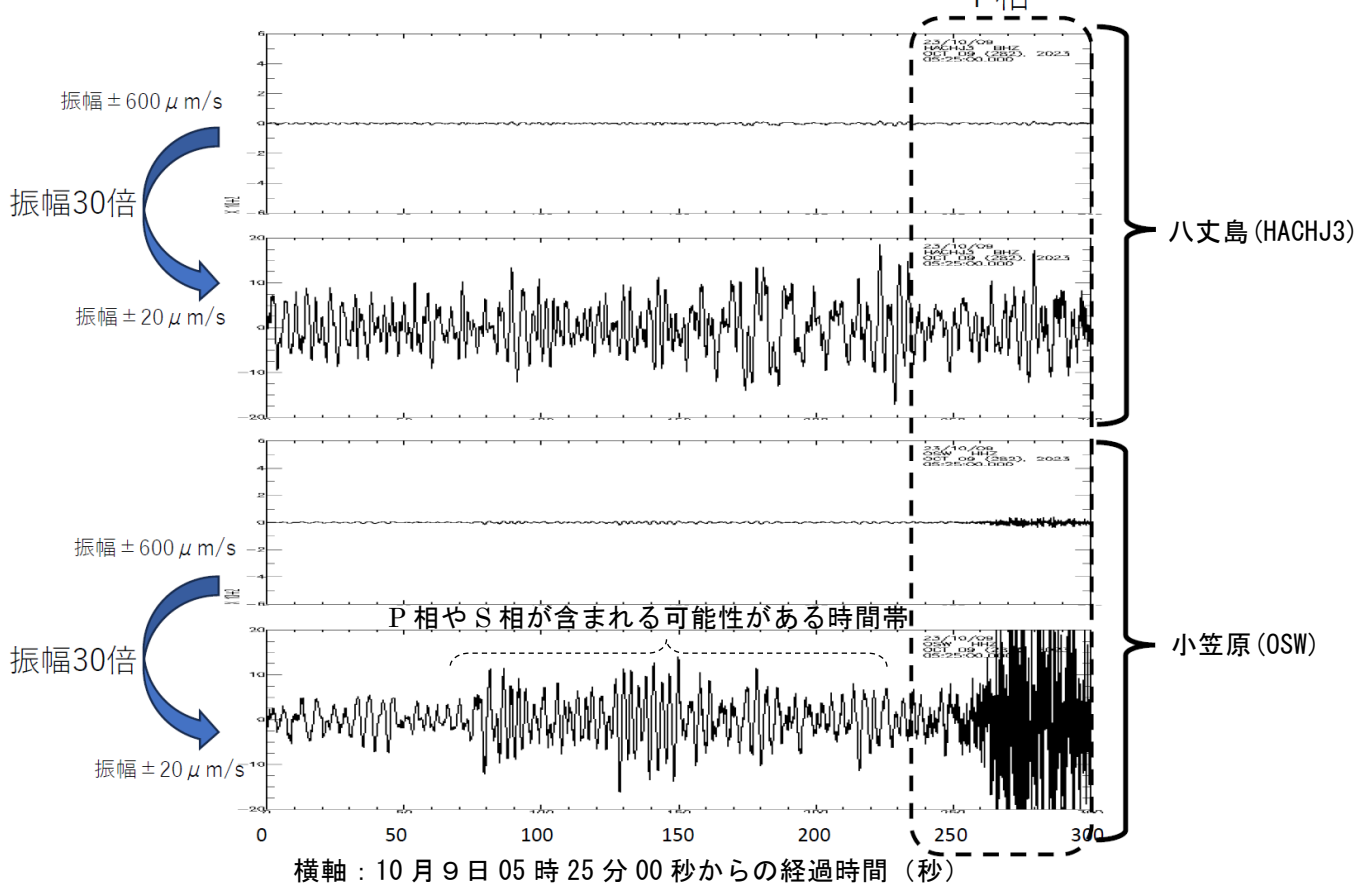


図2-6 八丈島三根観測点及び小笠原観測点における広帯域地震計の上下動成分の記録 国立研究開発法人防災科学技術研究所のF-net観測点の波形データを用いた

# 令和5年10月 地震・火山月報(防災編)

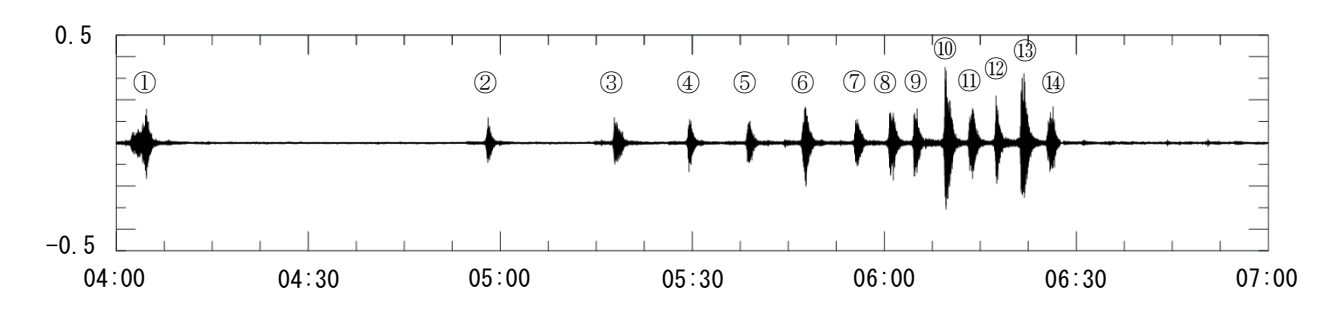
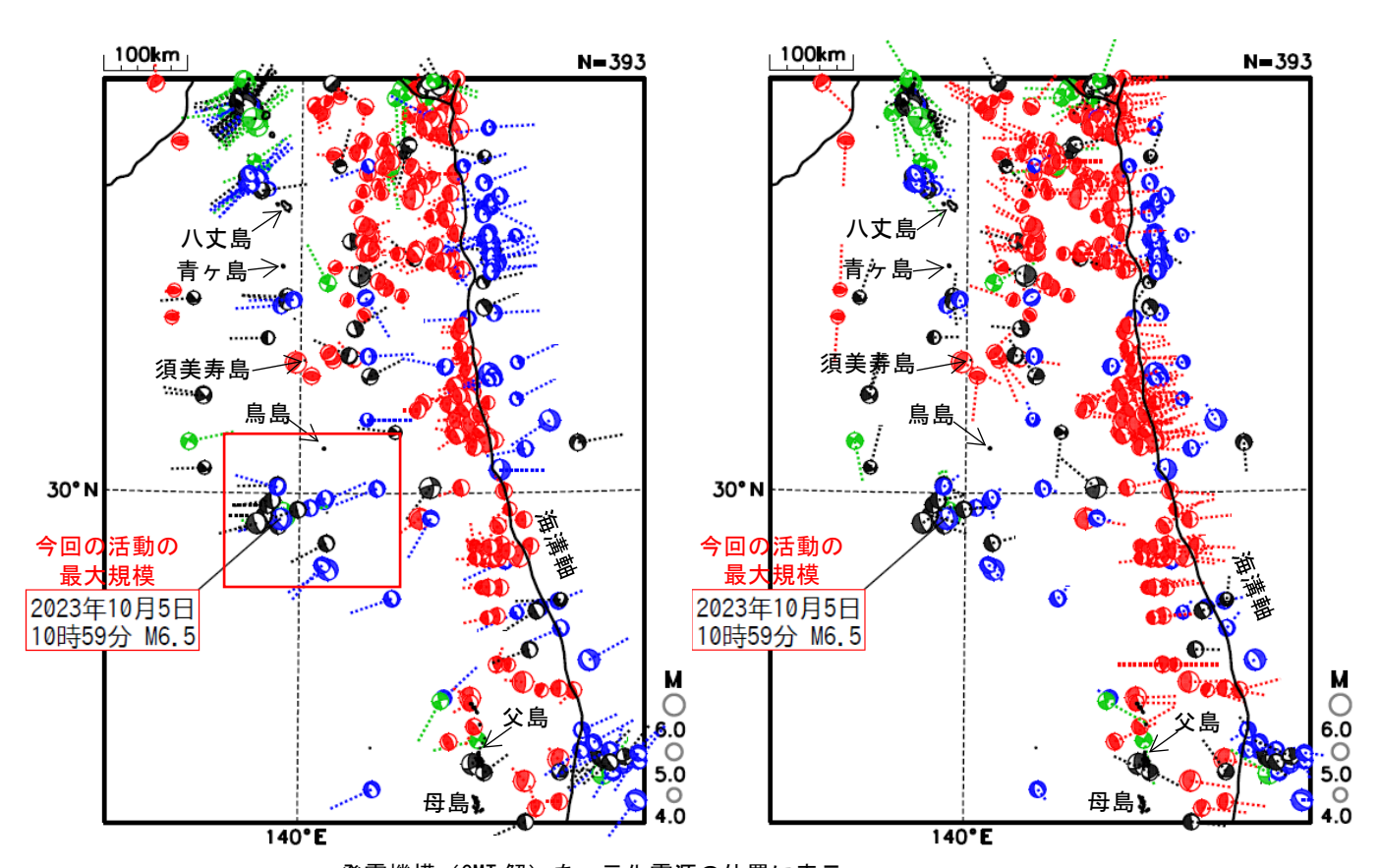


図2-7 気象庁震度計(多機能型地震観測点)の父島観測点における10月9日04時00分から07時00分までの上下動成分の記録 縦軸は加速度(gal)、横軸は時刻を示す。

# ウ. 発震機構

今回の地震活動域周辺の発震機構分布図を図2-8から図2-10に示す。今回の地震活動の周辺では、概ね東北東-西南西方向に張力軸を持つ型の地震が多く発生している。また、今回の地震活動の東側の海溝軸付近では、概ね東北東-西南西方向に圧力軸を持つ型の地震が多く発生している。



発震機構 (CMT 解) を一元化震源の位置に表示 赤: 逆断層型、青: 正断層型、緑: 横ずれ断層型、灰: その他

図2-8 発震機構(CMT解)の分布図 (1994年9月1日~2023年10月31日、 深さ0~100km) 張力軸を震源球からのびる点線 で表示 図2-9 発震機構(CMT解)の分布図 (1994年9月1日~2023年10月31日、 深さ0~100km) 圧力軸を震源球からのびる点線 で表示

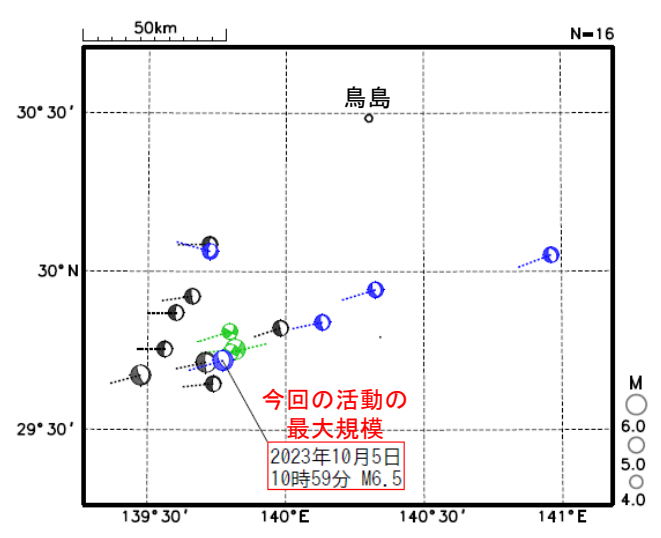


図2-10 図2-8の赤色矩形内の拡大図(2023年10月2日~31日を表示)

### エ. 過去の地震活動

1980 年以降の今回の地震活動域周辺の地震活動を図 2-11 から図 2-13 に示す。各図には、フィリピン海プレート内で発生した地震で津波を観測した地震を明示した。今回の地震活動域の北方の須美寿島付近では、M6.0 程度の規模にもかかわらず津波を観測した地震が時々発生しており、これらの地震の発震機構 (CMT 解) はよく似ている。1984 年の M5.9 の地震について、Kanamori et al. (1993) はマグマが関与した地殻変動によって津波が発生した可能性があることを示している。今回の地震活動(発震機構は図 2-1 も参照)及び 2006 年の M6.8 の地震は、これらの須美寿島付近の地震とは発震機構の特徴が異なっている。

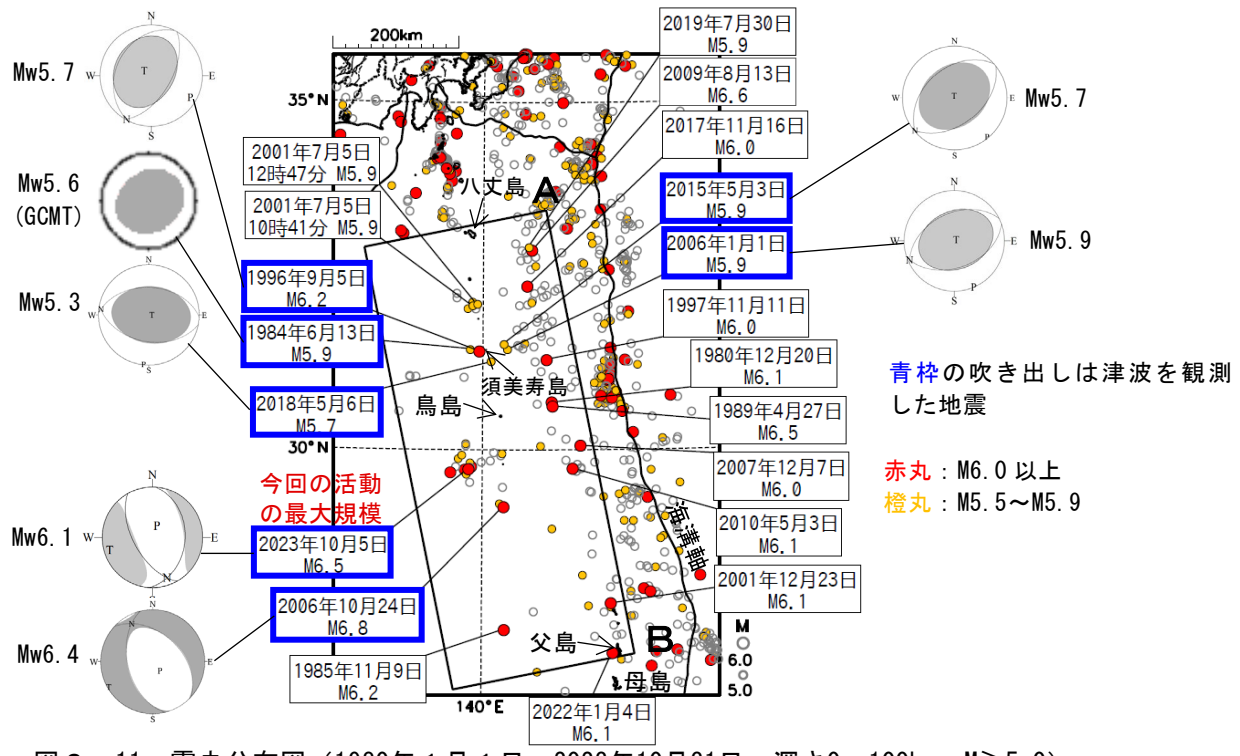
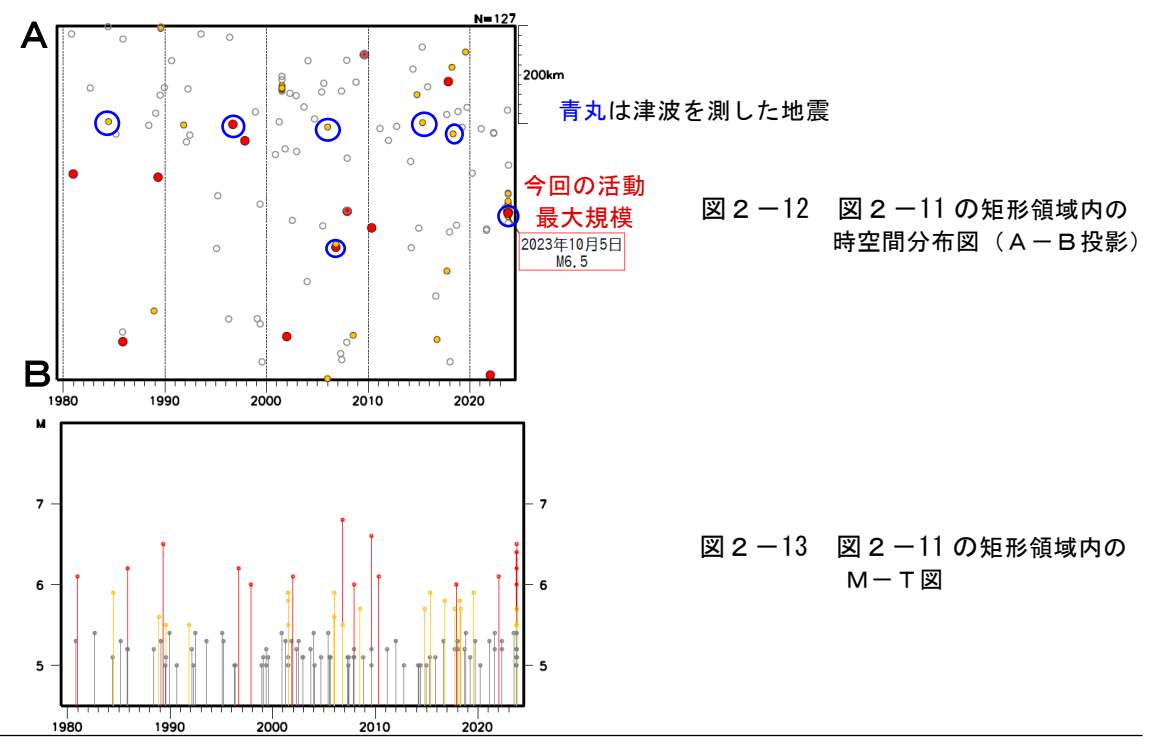


図 2 −11 震央分布図(1980年 1 月 1 日~2023年10月31日、深さ0~100km、M≥5.0) 矩形領域内は、フィリピン海プレート内で発生したと考えられる地震 ただし、矩形領域内の東端付近は太平洋プレート内の地震を含む 吹き出しは、矩形領域内で M5.9 以上及び 2018 年 5 月 6 日 M5.7 の地震 発震機構は 1984 年 6 月 13 日の地震は Global CMT、その他の地震は気象庁の CMT 解



(注3) 参考文献 Kanamori, H., G. Ekstrom, A. Dziewonski, J. S. Barker, and S. A. Sipkin, 1993, J. Geophys. Res., 98, 6511-6522

## 令和5年10月 地震・火山月報(防災編)

1919年以降の地震活動を図2-14及び図2-15に示す。今回の地震の震央周辺(領域b)では、M7程度の地震が時々発生している。2015年5月30日に深さ682kmで発生したM8.1の地震(最大震度5強)では、軽傷8人、住家一部破損2棟などの被害が生じた(総務省消防庁による)。

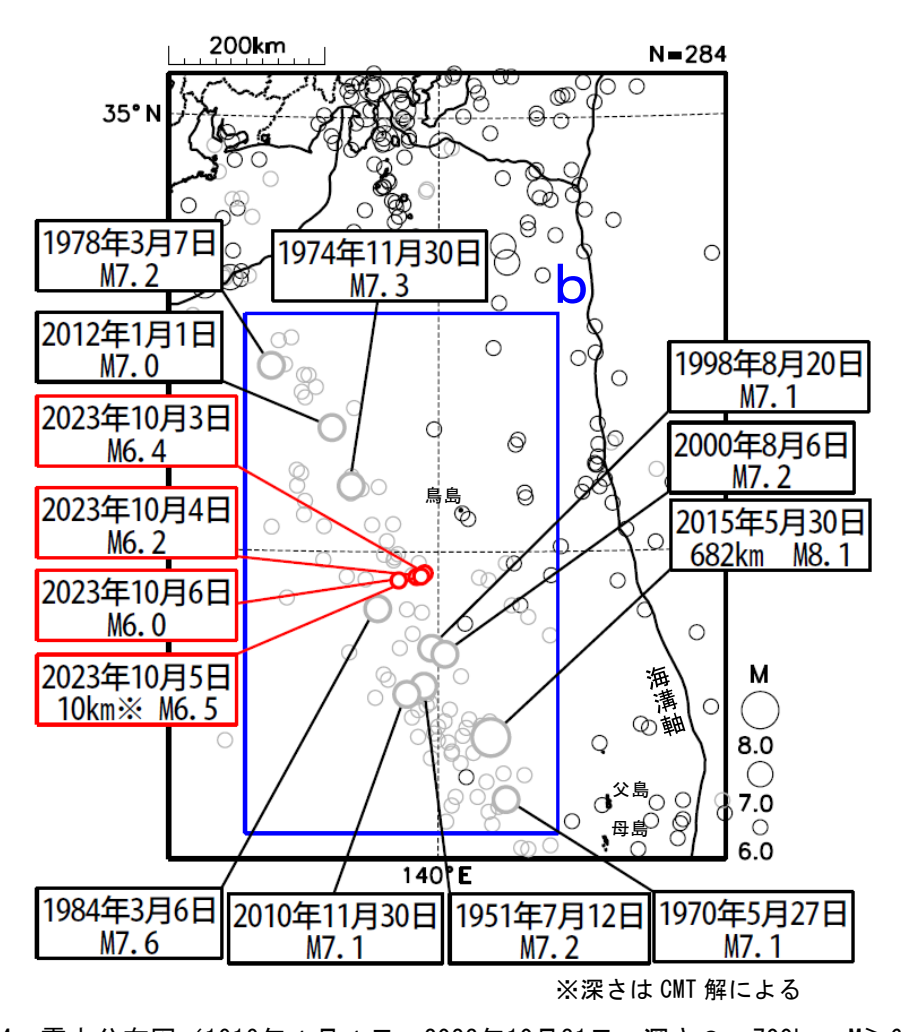


図2-14 震央分布図 (1919年1月1日~2023年10月31日、深さ0~700km、M≥6.0) 2023年9月以前の深さ0~100kmの地震を濃く、 2023年9月以前の深さ100~700kmの地震を薄く、 2023年10月の地震を赤く表示

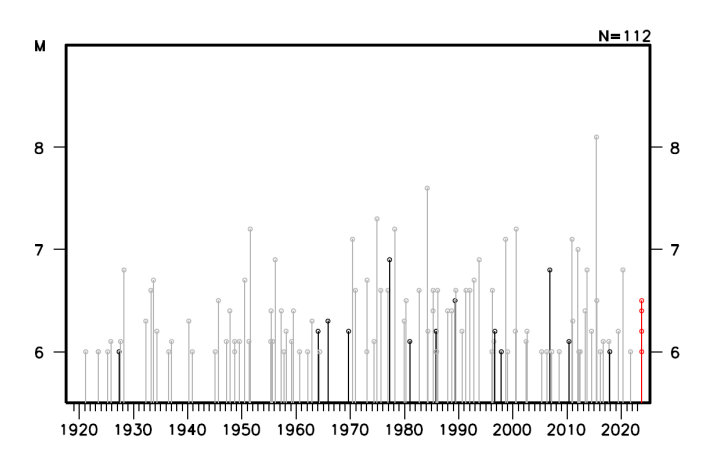


図2-15 図2-14の領域 b 内のM-T図